

РЕШЕНИЕ ЗАДАЧИ О НЕУСТАНОВИВШЕМСЯ ДВИЖЕНИИ ЖИДКОСТИ В ДЕФОРМИРУЕМОМ ТРЕЩИНОВАТОМ КОЛЛЕКТОРЕ МЕТОДОМ МАЛОГО ПАРАМЕТРА (ДЛЯ СЛУЧАЯ ПУСКА СКВАЖИНЫ)

P. Г. Исаев (Грозный)

Процессы неустановившейся фильтрации жидкости в деформируемом трепциноватом коллекторе описываются нелинейными дифференциальными уравнениями параболического типа в виде

$$\frac{1}{r} \frac{\partial}{\partial r} \left\{ r f(P) \frac{\partial P}{\partial r} \right\} = \frac{1}{\kappa_{r0}} \frac{\partial P}{\partial t}, \quad \kappa_{r0} = \frac{k_{r0}}{\mu_{\beta_r}^*} \quad (1)$$

где κ_{t0} — коэффициент пьезопроводности, β_7^* — коэффициент упругоемкости трещиноватого коллектора, $f(P)$ — функция давления, k_{t0} — проницаемость трещиноватого коллектора при $P = P_0$.

Так же, как и для случая восстановления давления, будем искать решение уравнения (I) методом малого параметра, известным из [1,2]. Полагаем, что скважина запускается в эксплуатацию с постоянным объемным дебитом. Пусть

$$f(P) = [1 - \beta(P_0 - P)]^3$$

где β — коэффициент, зависящий от трещиноватости и упругих свойств породы [3]. Уравнение (1) представим в виде

$$\frac{1}{r} \frac{\partial}{\partial r} \left\{ r \Phi^3 \frac{\partial \Phi}{\partial r} \right\} = \frac{1}{\kappa_{\tau_0}} \frac{\partial \Phi}{\partial t}, \quad \Phi = 1 - \beta (P_0 - P) \quad (2)$$

Полагаем, что после пуска скважины ее дебит остается постоянным," т. е. на стенке скважины реализуется условие

$$Q = \frac{2\pi\hbar k_{T_0}}{\mu} \left\{ r [1 - \beta(P_0 - P)]^3 \frac{\partial P}{\partial r} \right\}_{r=r_c \rightarrow 0} \quad (3)$$

Здесь h — мощность пласта, μ — вязкость жидкости.

Считается, что в начальный момент давление в пласте повсюду постоянно и равно

$$P(r, 0) = P_0 > 0 \quad \text{или} \quad \Phi(r, 0) = \Phi_0 > 0 \quad (4)$$

Для неограниченного трещиноватого пласта имеем также

$$P(\infty, t) = P_0 > 0 \quad \text{или} \quad \Phi(\infty, t) = \Phi_0 > 0 \quad (5)$$

Представим решение нашего уравнения в виде бесконечного ряда функций Φ

$$\Phi^4(r, t) = \Phi_0^4 + \Omega\Phi_1(r, t) + \Omega^2\Phi_2(r, t) + \Omega^3\Phi_3(r, t) + \dots \quad (6)$$

где $\Phi_1(r, t)$, $\Phi_2(r, t)$, $\Phi_3(r, t)$, ... — подлежат определению. Из (6) следует [4]

$$\frac{\Phi(r, t)}{\Phi_0} = \left(1 + \frac{\Omega}{\Phi_0^4} \Phi_1(r, t) + \frac{\Omega^2}{\Phi_0^4} \Phi_2(r, t) + \frac{\Omega^3}{\Phi_0^4} \Phi_3(r, t) + \dots \right)^{1/4} = \\ = 1 + \frac{1}{4} \frac{\Omega}{\Phi_0^4} \Phi_1(r, t) + \frac{1}{4} \frac{\Omega^2}{\Phi_0^4} \left[\Phi_2(r, t) - \frac{3}{8} \frac{\Phi_1^2(r, t)}{\Phi_0^4} \right] + \\ + \frac{1}{4} \frac{\Omega^3}{\Phi_0^3} \left[\Phi_3(r, t) - \frac{\Phi_1(r, t) \Phi_2(r, t)}{4 \Phi_0^4} + \frac{7}{32 \Phi_0^8} \Phi_1^3(r, t) \right] + \dots \quad (7)$$

($\Omega = \mu \beta Q / \pi \hbar k_{T_0}$ ($\Omega \ll 1$))

Если подставить выражения (7) и (6) в уравнение (2), то получается следующая последовательная цепочка линейных дифференциальных уравнений:

Наша задача сводится, таким образом, к решению цепочки уравнений со следующими граничными и начальными условиями для Φ_1, Φ_2, Φ_3 и т. д.: (9)

$$\Phi_1(r, 0) = \Phi_2(r, 0) = \Phi_3(r, 0) = \dots = 0, \quad \Phi_1(\infty, t) = \Phi_2(\infty, t) = \Phi_3(\infty, t) = \dots = 0$$

$$(r \frac{\partial \Phi_1}{\partial r})_{r=r_c} = -1$$

Отыскание функции $\Phi_1(r, t)$ сводится к решению линейного дифференциального уравнения типа уравнения теплопроводности [5]. Следовательно, функция $\Phi_1(r, t)$ имеет вид

$$\Phi_1(r, t) = \text{Ei}(-u) \quad u = \frac{r^2}{4\kappa_{T_0} t} \text{Ei}(-u) = - \int_u^\infty \frac{e^{-u}}{u} du \quad (10)$$

В соответствии с (8) находим

$$\frac{3}{8\Phi_0^4} \frac{\partial}{\partial t} \Phi_1^2 = \frac{6}{8\Phi_0^4 t} \text{Ei}(-u) e^{-u} \quad (11)$$

Следовательно

$$\frac{\partial \Phi_2}{\partial t} = \lambda \frac{1}{r} \frac{\partial}{\partial r} \left(r \frac{\partial \Phi_2}{\partial r} \right) - \frac{3}{4\Phi_0^4 t} \text{Ei}(-u) e^{-u} \quad (12)$$

Введем новую переменную $\xi = \sqrt{u} = r / 2\sqrt{\kappa_{T_0} t}$, тогда уравнение (12) примет вид

$$\frac{d\Phi_2}{d\xi} \frac{\partial \xi}{\partial t} = \lambda \frac{1}{r} \frac{d\Phi_2}{d\xi} \frac{\partial \xi}{\partial r} + \lambda \frac{d^2\Phi_2}{d\xi^2} \left(\frac{\partial \xi}{\partial r} \right)^2 + \lambda \frac{d\Phi_2}{d\xi} \frac{\partial^2 \xi}{\partial r^2} \frac{3}{4\Phi_0^4 t} \text{Ei}(-u) e^{-u} \quad (13)$$

Полагая, что

$$\frac{\partial \xi}{\partial t} = - \frac{r}{4\sqrt{\kappa_{T_0} t}}, \quad \frac{\partial \xi}{\partial r} = \frac{1}{2\sqrt{\kappa_{T_0} t}}$$

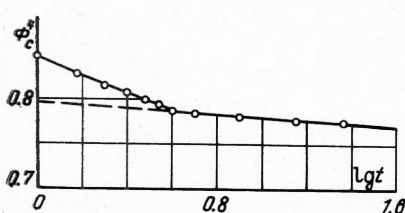
после ряда простых преобразований получаем

$$\frac{d^2\Phi_2}{d\xi^2} + \frac{d\Phi_2}{d\xi} \left(2\xi \Phi_0^3 + \frac{1}{\xi} \right) = \frac{3}{\Phi_0^7} \text{Ei}(-u) e^{-u} \quad (14)$$

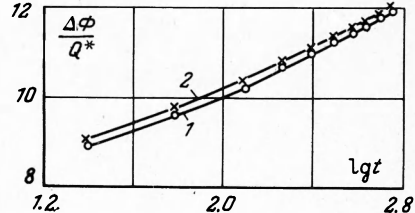
Имея в виду, что $\Phi_0 = 1$, из (14) следует

$$\frac{d^2\Phi_2}{d\xi^2} + \frac{d\Phi_2}{d\xi} \left(2\xi + \frac{1}{\xi} \right) = 3\text{Ei}(-u) e^{-u} \quad (15)$$

Из (15) видно, что получилось неоднородное дифференциальное уравнение с правой частью в полных производных.



Фиг. 1



Фиг. 2

Решение уравнения (15) можно найти методом вариации постоянных [6].
Фундаментальной системой уравнения (15) без правой части будет $\text{Ei}(-\xi^2), 1$. Следовательно

$$\Phi_2 = C_1(\xi) + C_2(\xi) \text{Ei}(-\xi^2) \quad (16)$$

где переменные $C_1(\xi)$ и $C_2(\xi)$ определяются из

$$\frac{dC_1}{d\xi} + \text{Ei}(-\xi^2) \frac{dC_2}{d\xi} = 0, \quad \frac{d}{d\xi} \text{Ei}(-\xi^2) \frac{dC_2}{d\xi} = 3\text{Ei}(-\xi^2) e^{-\xi^2} \quad (17)$$

Интегрируя (17) и подставляя в (16), получаем

$$\Phi_2(r, t) = \frac{3}{2} \text{Ei}(-2u) - \frac{3}{4} e^{-u} \text{Ei}(-u) - \frac{3}{4} \eta_2 \text{Ei}(-u) + \frac{3}{4} \eta_1 \quad (18)$$

Постоянные η_1 и η_2 определяются из условий (9), а именно

$$\lim_{u \rightarrow \infty} \Phi_2 = 0, \quad \left(\xi \frac{\partial \Phi_2}{\partial \xi} \right)_{\xi=0} = 0$$

Следовательно, $\eta_1 = 0$, $\eta_2 = 1$. Окончательно получаем

$$\Phi_2(r, t) = {}^{3/2} \operatorname{Ei}(-2u) - {}^{3/4} e^{-u} \operatorname{Ei}(-u) - {}^{3/4} \operatorname{Ei}(-u) \quad (19)$$

Аналогичным образом можно определить все последующие приближения.

Ограничивааясь вторым приближением (погрешность в допустимых пределах), получаем такое решение уравнения (2) для случая пуска скважины: (20)

$$\Phi_c^4(r_c, t) = 1 - \Omega \operatorname{Ei}(-u) + \Omega^2 [{}^{3/2} \operatorname{Ei}(-2u) - {}^{3/4} e^{-u} \operatorname{Ei}(-u) - {}^{3/4} \operatorname{Ei}(-u)]$$

Формула (20) для обработки кривых понижения забойного давления после пуска скважины требует значительных расчетов. Однако для малых значений u при $r = r_c$ формула (20) может быть переписана в виде

$$\begin{aligned} \Phi_c^4(r_c, t) &= 1 + \Omega \ln \frac{2.25 \kappa_{T_0} t}{r_c^2} + \Omega^2 0.75 \ln \frac{4 \kappa_{T_0} t}{r_c^2} - 2.783 \Omega^2 = \\ &= 1 + \Omega \ln \frac{2.25 \kappa_{T_0}}{r_c^2} + 0.75 \Omega^2 \ln \frac{4 \kappa_{T_0}}{r_c^2} - 2.783 \Omega^2 + (\Omega + 0.75 \Omega^2) \ln t = B_1 + C_1 \ln t \quad (21) \\ C_1 &= \Omega(1 + 0.75 \Omega), \quad B_1 = 1 + \Omega \ln \frac{2.25 \kappa_{T_0}}{r_c^2} + 0.75 \Omega^2 \ln \frac{4 \kappa_{T_0}}{r_c^2} - 2.783 \Omega^2 \end{aligned}$$

Как видно из (21), обработка кривых понижения давления предполагает построение преобразованного графика в координатах $\Phi_c^4 - \lg t$, а затем определение по прямолинейному участку углового коэффициента. Затем, решая полученное квадратное уравнение, находим Ω , а по численному значению Ω определяется k_{T_0} . Степень точности расчетов повышается с введением в рассмотрение четвертого слагаемого разложения (6) и решением кубического уравнения при $\lg t$ и т. д.

Обработка кривой понижения давления по скв. 160—5 (месторождения Малгобек — Вознесенское), преобразованный график по которой приведен на фиг. 1, показала, что $k_{T_0} = 0.045$ дарси.

Данные для построения преобразованного графика приведены в таблицу при значениях:

$$Q_v = 378 \text{ м}^3/\text{сутки}, \beta = 0.0025 \text{ 1/am}$$

$$\mu = 0.306 \text{ cns}, h = 13 \text{ м}$$

$$k = 0.045 \text{ дарси.}$$

Сопоставление этого приближенного способа решения с автомодельным решением проведено на фиг. 2 при значениях $Q = 100 \text{ м}^3/\text{сутки}$; $\beta = 0.005 \text{ 1/am}$; $\mu = 1 \text{ cns}$; $h = 10 \text{ м}$; $k_{T_0} = 0.01 \text{ дарси}$; $Q^* = 0.1$. Из него видно, что приближенное решение весьма близко к точному решению.

Поступила 4 IV 1966

ЛИТЕРАТУРА

- Полубаринова-Кочина П. Я. Теория движения грунтовых вод. Гостехиздат, 1952.
- Бузинов С. Н., Умрихи И. Д. Исследование пластов и скважин при упругом режиме фильтрации. «Недра», 1964.
- Исаев Р. Г. О притоке сжимаемой жидкости в скважину из трещиноватого коллектора. Нефть и газ, 1963, № 6.
- Бронштейн И. Н., Семеняев К. А. Справочник по математике. Гостехиздат, 1957, стр. 324.
- Щелкачев В. Н. Разработка нефтеводоносных пластов при упругом режиме. Гостоптехиздат, 1959.
- Степанов В. В. Курс дифференциальных уравнений. Физматгиз, 1959.